

Méthode des frontières immergées pour les maillages cartésiens anisotropes dans le code Notus

Joris Picot¹

Stéphane Glockner² Thomas Milcent³ Delphine Lacanette²

Présentation TASC – CORIA
24 février 2016

¹Université de Bordeaux, I2M, UMR 5295

²Bordeaux INP, I2M, UMR 5295

³Arts et Métiers Paritech, UMR 5295



CPU

Le monde numérique au service
de la certification et de la
sécurisation des systèmes

Qui suis-je ?

Parcours

2006–2009 École d'ingénieur **MATMECA**

Spécialité : *fluides et énergétique*

2009–2014 Thèse et post-doc au **CERFACS**

Direction : *Roberto Paoli* et *Daniel Cariolle*

Sujet : *effets de la turbulence atmosphérique sur les traînées de condensations.*

2014–2016 Post-doc à **I2M**

Sujet : **méthode des frontières immergées pour les maillages cartésiens anisotropes dans le code Notus. Application à la simulation des écoulements dans la grotte de Lascaux**

Notus

Nouveau code CFD de l'I2M, depuis 2015

Développeurs :

Stéphane Glockner, Antoine Lemoine, Mathieu Coquerelle, Joris Picot

- ▶ Code en **phase de développement**

Écoulements d'air dans les grottes de Lascaux

Géométries des grottes complexes

- ▶ Utilisation d'une **méthode de frontières immergées**

Calculs très intensifs

$\Delta x = 30 \text{ cm}$ → 5×10^6 points → 50 cœurs

$\Delta x = 5 \text{ cm}$ → 1000×10^6 points → 10 000 cœurs

en comptant 100 000 points par cœur

- ▶ Utilisation d'algorithmes **massivement parallèles**

Plan

Introduction

1. Notus
2. Frontières immergées pour l'équation de Laplace
3. Frontières immergées pour les équations de Navier-Stokes

Conclusions

Partie 1

Notus

- 1.1 Présentation de Notus
- 1.2 Outils de validation
- 1.3 Bilan du projet

Caractéristiques principales

- Code dédié aux **écoulements incompressibles, multiphasiques**
- Volumes finis, 2D et 3D, **maillages cartésiens**
- Pensé **massivement parallèle**

Méthodes numériques

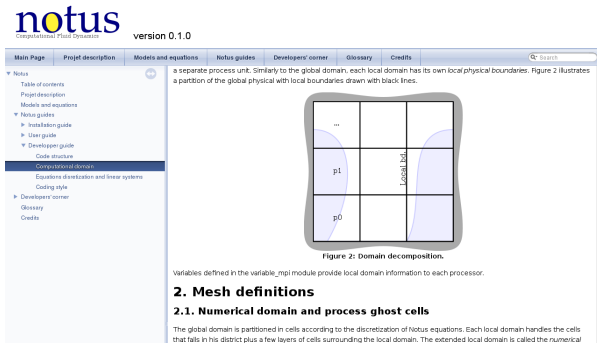
- Navier-Stokes : *fractional step method*, Goda et Timmermans
- Interfaces : Level-set, Volume-of-Fluid, **Moment-of-Fluid**
- Géométries complexes : **frontières immergées**

Objectifs visés

■ Facile d'utilisation et facilement adaptable

► Code **open-source** et **documenté** avec **Doxygen**

<http://notus-cfd.org/doc/index.html>



notus
Computational Fluid Dynamics
version 0.1.0

Main Page | **Project description** | Models and equations | Notus guides | Developers' corner | Glossary | Credits

Notus
Table of contents
Project description
Models and equations
Notus guides
Installation guide
User guide
Developer guide
Code structure
Computational domain
Equations discretization and linear systems
Coding style
Developers' corner
Glossary
Credits

a separate process unit. Similarly to the global domain, each local domain has its own local physical boundaries. Figure 2 illustrates a partition of the global physical with local boundaries drawn with black lines.

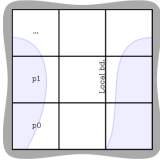


Figure 2: Domain decomposition.

Variables defined in the variable_mpi module provide local domain information to each processor.

2. Mesh definitions

2.1. Numerical domain and process ghost cells

The global domain is partitioned in cells according to the discretization of Notus equations. Each local domain handles the cells that falls in his district plus a few layers of cells surrounding the local domain. The extended local domain is called the numerical

Objectifs visés

- Repose sur des technologies existantes
 - ▶ Systèmes linéaires : bibliothèques HYPRE et MUMPS
 - ▶ Entrées-sorties parallèles : ADIOS
- Développements coordonnés avec **git**
 - Permet de développer à 4 en parallèle
 - Déploiement sur différentes machines : curie (TTGC), occigen (CINES), turing (IDRIS), avakas (MCIA)
- Validation solide et **automatisée**

Validation de la convergence en espace

```
$ python notus_grid_convergence.py test_cases/poiseuille
... Notus output ...
$ cat test_cases/output/grid_convergence_poiseuille
#      Temperature L2 error      Mean temperature
  16 +4.490870e-03      +nan +1.441965e+00      +nan
  32 +1.288911e-03 +1.800842e+00 +1.445137e+00      +nan
  64 +2.916412e-04 +2.143887e+00 +1.446128e+00 +1.677552e+00
 128 +7.630639e-05 +1.934319e+00 +1.446343e+00 +2.208364e+00
 256 +1.892504e-05 +2.011508e+00 +1.446401e+00 +1.890371e+00
 512 +4.696270e-06 +2.010709e+00 +1.446415e+00 +2.065669e+00
1024 +1.195573e-06 +1.973813e+00 +1.446418e+00 +1.988532e+00
```

- La démarche est **automatisée** le plus possible
- Les grandeurs à analyser sont précisées dans le cas test
- Possibilité d'utiliser la méthode de Richardson

Validation de la non régression

```
$ ./notus_validation.sh
```

Test case name	Validated	Converged	Iterations	Error
ibd_laplacian_dirichlet	FAIL			
poiseuille	OK	OK	356	1.387778e-17
poiseuille_viscosity	OK	OK	2989	0.000000e+00
level_set_sheared_2D	NO	N/A	200	3.820045e-08
mof_minimization_sheared	OK	N/A	1000	2.220446e-16
vof_plic_periodic	OK	N/A	141	3.330669e-16
ball_equilibrium	NO	OK	1128	1.496367e-07
driven_cavity	OK	OK	3449	5.162537e-15
dam_break_mof	OK	N/A	50	2.531308e-14
dam_break_vof_plic	OK	N/A	50	3.355649e-14

- Compare un résultat scalaire attendu, pour chaque cas test
- La démarche est **automatisée** le plus possible
- Différents jeux de validation selon le besoin (rapide, complet, etc.)

Validation des performances parallèles

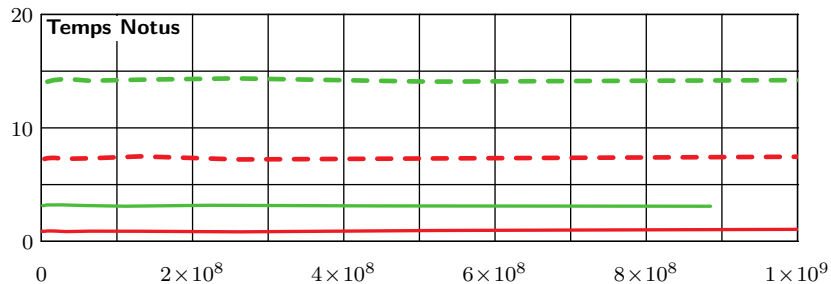
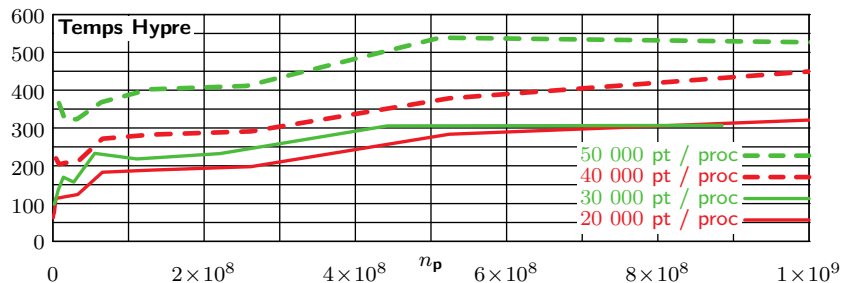
```
$ ./scalability_script_turing.sh
```

Np	Total	Hypre (velocity)	Hypre (pressure)	Notus
128	0.26000e+01	0.86140e+00	0.94443e+00	0.79417e+00
256	0.29297e+01	0.10660e+01	0.10462e+01	0.81751e+00
512	0.30754e+01	0.11369e+01	0.11025e+01	0.83590e+00
1024	0.38859e+01	0.16025e+01	0.13959e+01	0.88751e+00
2048	0.43207e+01	0.18807e+01	0.15359e+01	0.90404e+00
4096	0.47281e+01	0.22302e+01	0.16268e+01	0.87108e+00
8192	0.65902e+01	0.32613e+01	0.23815e+01	0.94744e+00

- Relève le temps de calcul pour différentes parties du code
- La démarche est **automatisée** le plus possible

Validation des performances parallèles

t (s)



Liste des écoulements physiques simulés

- Convection naturelle
- Cavit  entrain e
- Bulle ascendante
- Rupture de barrage
- Vagues solitaires

Avancement du projet

Sortie interne : janvier 2016

 coulements :

- Jet turbulent
- Interaction avec solides  lastiques

Sortie publique : dernier trimestre 2016

<http://www.notus-cfd.org/>

Partie 2

Frontières immergées pour l'équation de Laplace

- 2.1 Motivation
- 2.2 *Ghost-Cell Finites-Differences*
- 2.3 *Ghost point shifting*
- 2.4 Tests — Équation de Laplace

Motivation des frontières immergées (FI)

S'affranchir de la complexité des maillages curvilignes et non-structurés.

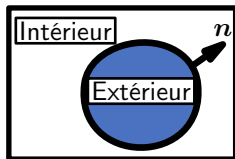
Possibilités offertes :

- Solution convergente au 2^e ordre,
- Frontières mobiles,
- Lois de paroi.

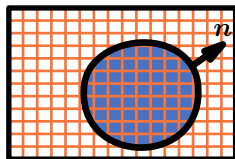
Méthodes existantes

Beaucoup d'approches existent :

- Forçage continu (Peskin, 1972)
- Forçage discret
 - *Ghost-Cell Finite-Differences*
 - *Cut-Cell Finite-Volumes*



Domaines.



Frontière immergée.

Dans Notus

Méthode de type **Ghost-Cell Finite-Differences**.

Contraintes liées au parallélisme

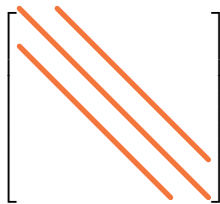
- Stockage des grands systèmes linéaires
 - Performance des solveurs
- Notus utilise des **matrices à bandes**

Compacité

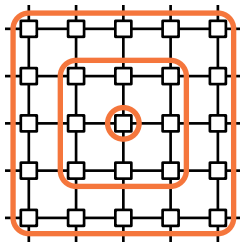
Le stencil de discrétisation est **compact d'ordre c** si :

$$|\mathbf{x}_j - \mathbf{x}_i| > \Rightarrow A_{ij} = 0$$

où A est la matrice.



Matrice à bandes A



Compacités : 0, 1, 2.

Méthode *Ghost-Cell Finites-Differences*

Discrétisation de l'équation de Laplace :

$$\frac{u_{i-1} - 2u_i + u_{i+1}}{\Delta x^2} = f_i$$

au points x_i du **domaine intérieur uniquement**.

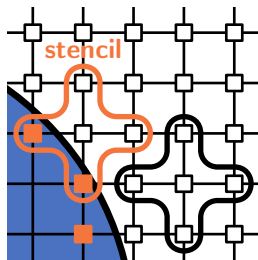
Près de la frontière, $u_{i\pm 1}$ peut ne pas être défini,

► c'est un **nœud fantôme**.

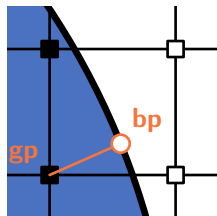
Principe général

La CL au *boundary point* (**bp**) va définir une valeur au *ghost point* (**gp**).

Le point **bp** est obtenu à l'aide d'une *levelset*.



Stencil du sys. linéaire.



Application de la CL.

Discrétisation de la CL

Interpolation et différences finies :

$$\sum_j \beta_j u_j = u_{\text{bp}} \quad (\text{Dirichlet})$$

$$\sum_j \gamma_j u_j = \partial_n u_{\text{bp}} \quad (\text{Neumann})$$

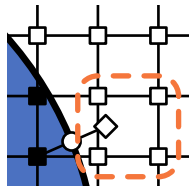
Équations **couplées** → modification du système linéaire, résolution **implicite**

$$(A + E) = f + b$$

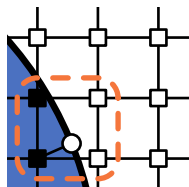
Interpolation

Différentes méthodes d'interpolation possibles

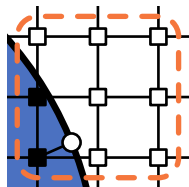
- Méthode **linéaire** (Mittal, 2008)
- Méthode **directe** (Cocco & Russo, 2012)
- Méthode des **moindres carrés** (Mousel, 2012)



Méthode linéaire.



Méthode directe.



Ordre plus élevé.

Cas des maillages anisotropes

Nombre d'anisotropie $a = \frac{\Delta_{\max}}{\Delta_{\min}}$

On a :

$$c = \lceil 2a \rceil \quad (\text{Méthode linéaire})$$

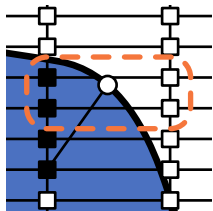
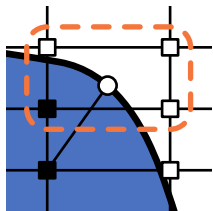
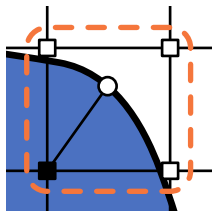
$$c = \lceil a \rceil \quad (\text{Méthode directe})$$

- ▶ L'anisotropie **augmente l'étendue du stencil**

Les matrices à bandes sont rapidement limités

Typiquement : $c \leq 1$ ou $c \leq 2$

- ▶ Nécessité de **modifier la méthode**



Ghost point shifting

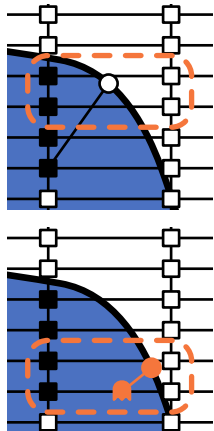
Le point **gp** est **décalé** vers le nœud intérieur le plus proche.

- Le nouveau point **bp** est décalé aussi.
- L'équation devient plus **compacte**.

On obtient :

$c = 2$ (Méthode linéaire)

$c = 1$ (Méthode directe)



Tests — Équation de Laplace

Domaine carré Ω avec un obstacle circulaire Γ centré :

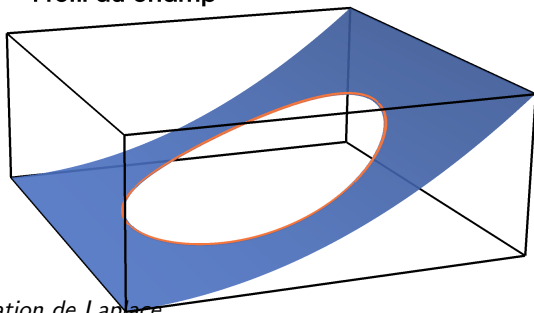
$$\Omega = [-1, +1] \times [-1, +1] \quad \Gamma = \text{Disque}(O, r = 0.65)$$

Solution paraboléoïde avec conditions limites adaptées :

$$u(x, y) = (1 + x)^2 \quad \Delta u(x, y) = 2$$

$$u_{\Gamma} = (1 + x_{\Gamma})^2 \quad (\text{Dirichlet}) \quad \partial_{\mathbf{n}} u_{\Gamma} = 2(1 + x_{\Gamma}) \quad (\text{Neumann})$$

Profil du champ



Tests — Équation de Laplace

Maillages

Solutions convergées

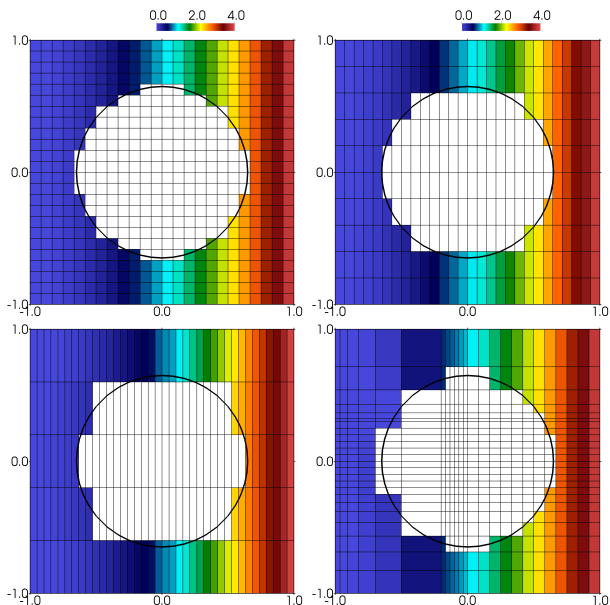
pour $a = 1$ (isotrope)

- $a = 2.8$
- $a = 7.6$
- irrégulier

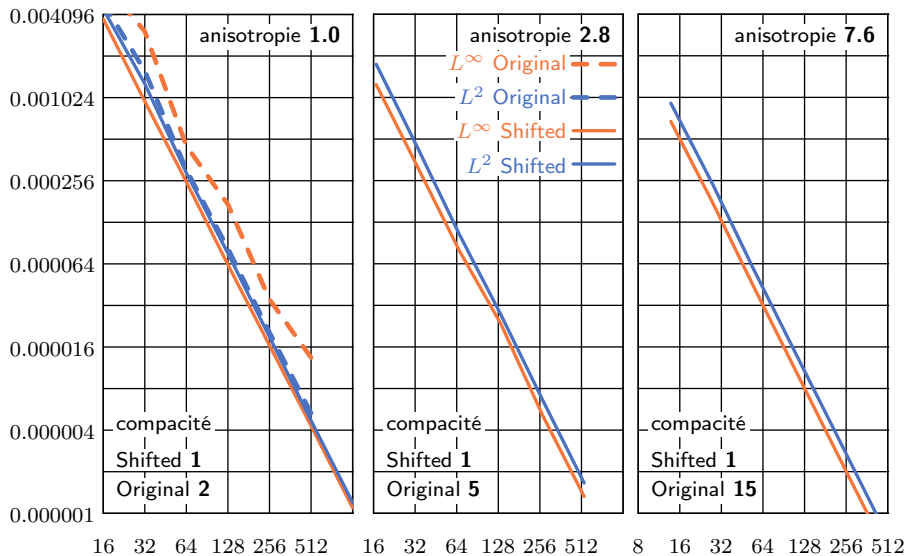
Test de convergence

Sur les maillages

1, 2.8, 7.6

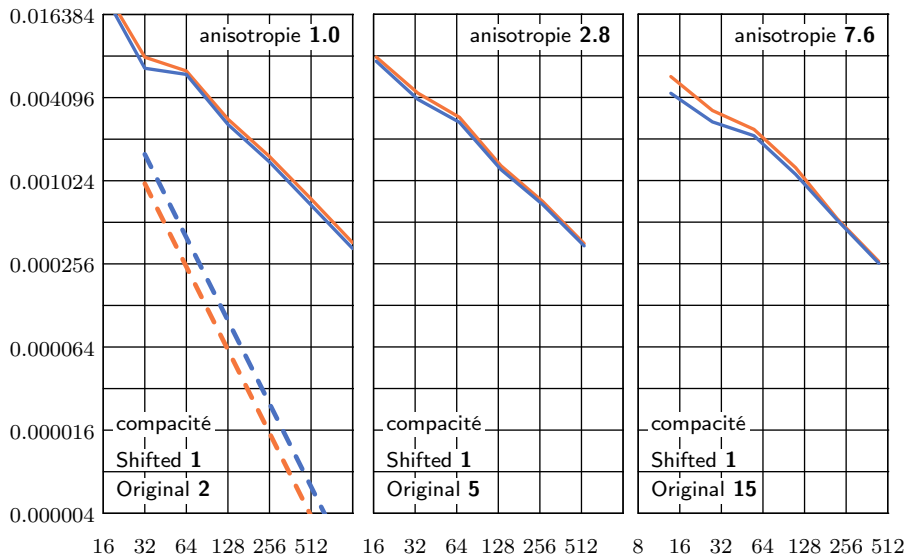


Condition limite de Dirichlet



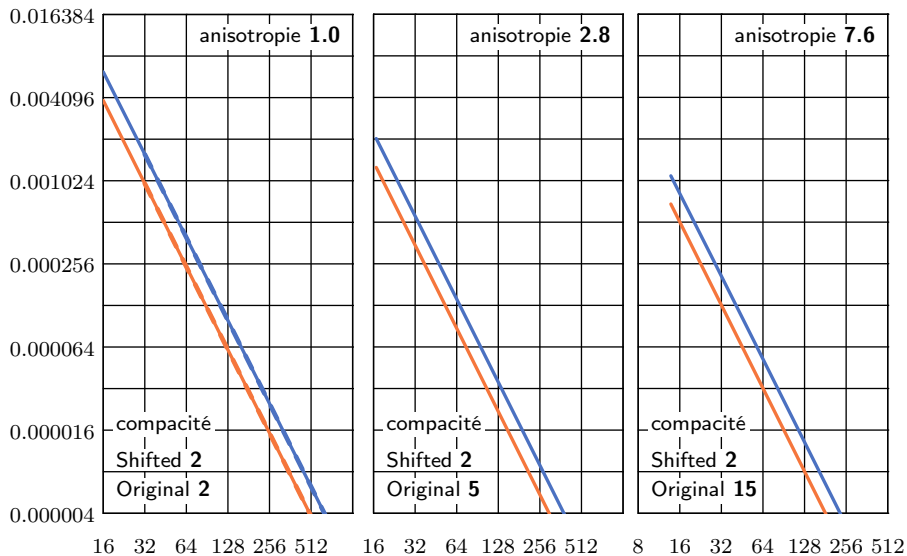
► Compact et converge au deuxième ordre

Condition limite de Neumann



► **Compact et converge au premier ordre**

Condition limite de Neumann



► Un peu moins compact et converge au deuxième ordre

Partie 3

Frontières immergées pour les équations de Navier-Stokes

- 3.1 Modification des équations
- 3.2 Tests – Écoulement de Poiseuille
- 3.3 Tests – Écoulement autour de cylindre

Application aux équations de Navier-Stokes

Formulation incompressible

Conditions limites

$$\partial_t \mathbf{u} + \operatorname{div}(\mathbf{u} \otimes \mathbf{u}) + \nabla p = \nu \Delta \mathbf{u}$$

$$\mathbf{u} = \mathbf{0}$$

$$\operatorname{div} \mathbf{u} = 0$$

$$\partial_n p = 0$$

Méthode prédicteur-correcteur

$$\partial_t \mathbf{u}^* + \operatorname{div}(\mathbf{u}^* \otimes \mathbf{u}^n) + \nabla p^n = \nu \Delta \mathbf{u}^* + \mathbf{f} \quad (1)$$

$$\delta t \Delta \Phi = \operatorname{div} \mathbf{u}^* \quad (2)$$

$$p^{n+1} = p^n + \Phi \quad (3)$$

$$\mathbf{u}^{n+1} = \mathbf{u}^* - \delta t \nabla \Phi \quad (4)$$

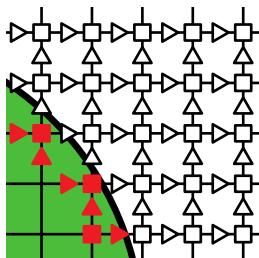
- L'inertie est semi-implicite : $\operatorname{div}(\mathbf{u} \otimes \mathbf{u}) \approx \operatorname{div}(\mathbf{u}^* \otimes \mathbf{u}^n)$
- Deux systèmes linéaires : (1) et (2)
- Trois différentiations : ∇p^n , $\operatorname{div} \mathbf{u}^*$, $\nabla \Phi$

Discrétisation spatiale

Grille décalée

$$\mathbf{u} \rightarrow \left[u_{i+\frac{1}{2},j} \quad v_{i,j+\frac{1}{2}} \right]$$

$$p \rightarrow p_{i,j}$$



Détermination des points fantômes

Idem à l'éq. de Laplace pour chaque variable

Les champs discrets sont-ils bien définis ?

- Oui, sauf pour \mathbf{u}^n sur les points fantômes. (Cf. terme d'inertie)

Solution : Extrapolation de \mathbf{u}^n après l'étape de correction

$$\mathbf{u}^{n+1} = \mathbf{u}^* - \delta t \nabla \Phi$$

\Rightarrow

$$\mathbf{u}^{**} = \mathbf{u}^* - \delta t \nabla \Phi$$

$$(I + \mathcal{E})\mathbf{u}^{n+1} = \mathbf{u}^{**} + b$$

Tests — Écoulement de Poiseuille

Domaine canal plan avec grille non coïncidente

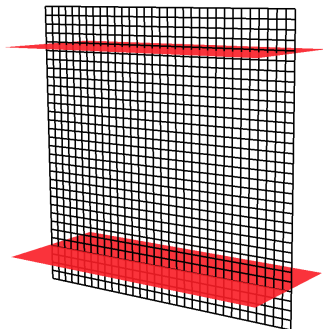
$$\Omega = [0, +2] \times [-1, +1] \quad \Gamma = \text{Droite } (y = \pm H = \pm 0.65)$$

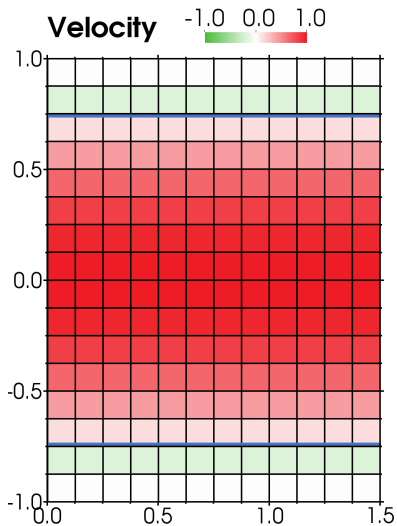
CL périodiques

Solution parabolique

$$u(x, y) = u_{\max} \left(1 - \frac{y}{H} \right)^2$$

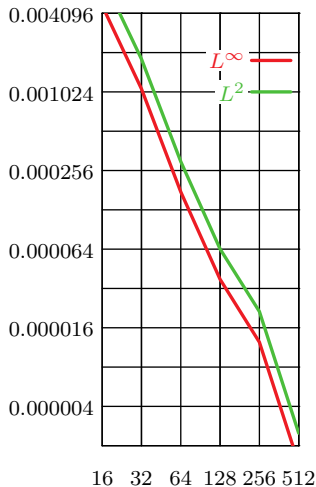
$$f_x = \frac{2\nu u_{\max}}{H^2}$$





► **Converge au deuxième ordre**

Test de convergence



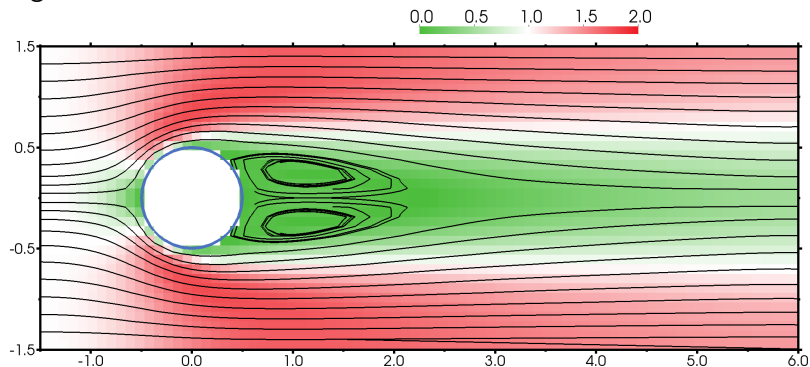
Tests — Écoulement autour du cylindre

Domaine canal plan avec grille non coïncidente

$$\Omega = [-1.5, +6.0] \times [-1.5, +1.5] \quad \Gamma = \text{Cylindre } (O, r = 0.5)$$

CL vitesse imposée en entrée. symétrie sur les côtés

Régime stationnaire : $Re = 40$



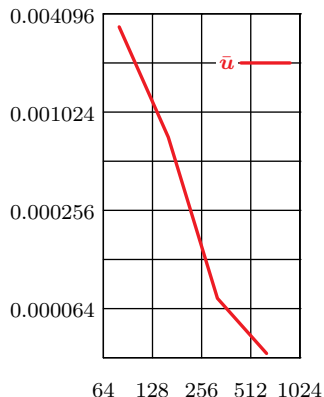
Tests — Écoulement autour du cylindre

Validation

Étude de convergence par extrapolation de Richardson

- Erreur « perturbée » par le volume changeant avec la grille
- ▶ **Converge au deuxième ordre**

Test de convergence



Tests — Écoulement autour du cylindre

Frontière irrégulière « pacman »

$$Re = 60$$

Partie 4

Conclusions

Méthode des frontières immergées

Implémentée dans Notus

- Convergente au 2^e ordre
- Reste compacte pour des maillages anisotropes

Validation

- Équation de la chaleur
- Écoulement de Poiseuille
- Écoulement autour du cylindre
- Validation 3D en cours

Perspectives

- Analyse des performances parallèles
- Implémentation des objets, application à Lascaux

